

مقایسه خصوصیات واکنشی و بیلان حجمی آب در سه روش هیدروگراف واحد (مطالعه موردی: حوضه آبخیز ونک)

*سمیرا بیاتی^۱، محمدعلی نصر اصفهانی^۲، خدایار عبدالهی^۳

۱. دانشجوی کارشناسی ارشد مهندسی منابع آب، دانشکده کشاورزی، دانشگاه شهرکرد
۲. استادیار، دانشکده کشاورزی، دانشگاه شهرکرد
۳. استادیار، دانشکده منابع طبیعی و علوم زمین، دانشگاه شهرکرد

(تاریخ دریافت ۱۳۹۶/۰۲/۰۸؛ تاریخ تصویب ۱۶/۰۳/۱۳۹۶)

چکیده

هیدروگراف واحد، یک روش شبیه‌سازی سیلاب در پاسخ به یک واحد بارش مازاد روی کل حوضه آبخیز است که بر پایه اصول سیستمی انطباق و تناسب عمل می‌کند. روش‌های متفاوتی از هیدروگراف واحد ارائه شده است که عملکرد آنها در شرایط محلی حوضه‌های آبخیز متفاوت است. در این تحقیق به منظور مقایسه عملکرد این روش‌ها با استفاده از مدل HEC-HMS و با اعمال روش احتساب‌کننده رطوبت خاک (SMA) و روش مخزن خطی به ترتیب برای محاسبه میزان تلفات و جریان پایه حوضه، هیدروگراف سیلاب و مشخصات آب‌نمود سیل شامل دبی اوج و حجم رواناب با استفاده از سه روش هیدروگراف واحد اشتایدر، کلارک و SCS شبیه‌سازی شد. برای مقایسه کارایی مدل‌ها، ضریب کارایی نش-ساتکلیف به عنوان تابع هدف در نظر گرفته شد. پارامترهای هیدرولوژیکی مدل به صورت دستی و با استفاده از روش سعی و خطأ ارزیابی و واسنجی شد. نتایج نشان داد درصد اختلاف بین حجم رواناب مشاهداتی و شبیه‌سازی شده در هر سه روش کاملاً نزدیک بود. در حالی که از نظر دبی اوج، روش هیدروگراف واحد کلارک با ضریب کارایی نش-ساتکلیف ۰/۶۸ کمترین میزان درصد اختلاف بین دبی اوج مشاهداتی و شبیه‌سازی شده را نشان داد.

کلیدواژگان: حوضه آبخیز ونک، مدل HEC-HMS، نش-ساتکلیف، هیدروگراف واحد.

کاهش خسارت‌های ناشی از سیلاب در منطقه انجام داد و یا حتی به امر مدیریت مصرف آب و پساب‌ها کمک کرد. HEC-HMS یکی از مدل‌های کامپیوتی مؤلفه‌ای برای شبیه‌سازی همبستگی بارش-رواناب است که از تئوری سیستم‌ها برای شبیه‌سازی فرایندهای هیدرولوژیکی بهره می‌گیرد. بنابراین، به دلیل توانایی آن در شبیه‌سازی رودادهای کوتاه‌مدت، مدل‌سازی پیوسته، راحتی کاربرد و استفاده از روش‌های معمول آن، در ایران بسیار متداول شده است [۵]. با توجه به تنوع مؤلفه‌ها، مدل HEC-HMS با موفقیت در مطالعات متعددی در جهان از جمله مدل‌سازی بارش-رواناب، پیش‌بینی سیلاب، مدیریت مخازن آب، تأثیر تغییر کاربری اراضی و بسیاری مطالعات دیگر استفاده شده است [۶].

کریمی و همکارانش [۷] مدل HEC-HMS را در حوضه آبخیز چهل‌گزی برای مقایسه عملکرد سه روش هیدرولوگراف واحد مصنوعی SCS اشنایدر و کلارک، در شبیه‌سازی ویژگی‌های هیدرولوگراف سیلاب مانند دبی اوج، حجم رواناب و زمان اوج به کار برند. در این مطالعه برای محاسبه میزان تلفات و جریان پایه از روش شماره منحنی و روش خشکیدگی یا فروکش استفاده شد. با استفاده از دو آماره ضریب همبستگی و ریشه میانگین مربعات خطای نتایج شبیه‌سازی شده و مشاهداتی هیدرولوگراف سیلاب مقایسه شد و روش SCS نسبت به دو روش دیگر کارایی بهتری داشت. در مطالعه چیداز و همکارانش [۸] نیز این سه روش در برآورد هیدرولوگراف سیلاب در حوضه آبخیز کسیلیان مقایسه شدند. در تحقیق یادشده روش شماره منحنی در بخش تلفات و روش ماسکینگام برای روندیابی سیل انتخاب شد. در این بررسی، روش هیدرولوگراف واحد SCS به دلیل درصد اختلاف کمتر بین دبی مشاهداتی و محاسباتی و بررسی هیدرولوگراف‌ها، به عنوان روش مناسب انتخاب شد. آخوندعلی و سیدکالی [۹] هیدرولوگراف خروجی ۲۴ واقعه رگباری را شبیه‌سازی کردند و توانایی روش‌های هیدرولوگراف واحد SCS و کلارک را در برآورد ویژگی‌های هیدرولوگراف سیلاب مانند دبی اوج، حجم رواناب و زمان اوج را مقایسه کردند. نتایج به دست آمده برتری روش کلارک را نسبت به روش SCS نشان داد. تحقیقات ماسون [۱۰] نشان داد در مقایسه روش‌های تبدیل بارش به رواناب، روش‌های اشنایدر و SCS در بیشتر موارد حداقل جریان را پیش از حد برآورد می‌کنند.

مقدمه

سیل به هر جریان سطحی آب با جریان آبی بیشتر از جریان عادی مقطع آبراهه، مسیل یا رودخانه با تداوم زمانی محدود گفته می‌شود که جریان به دست آمده از بستر طبیعی تجاوز کند و اراضی پست و حاشیه‌ای را در بر گیرد و به دنبال آن سبب ایجاد خسارت‌های جانی و مالی نیز شود [۱]. به دلیل فراوانی این نوع خسارت‌ها، برنامه‌ریزی به منظور مدیریت و کنترل سیلاب‌ها اهمیت خاصی دارد. مدل‌سازی هیدرولوژیکی ابزاری مدیریتی برای سیلاب محسوب می‌شود که با استفاده از اصول سیستمی برای یک حوضه، فرایندهای هیدرولوژیکی را در مقیاس کوچک توصیف می‌کند و چگونگی پاسخ حوضه به یک رویداد بارش مجزا مانند مقدار رواناب سطحی، دبی اوج و زمان رسیدن به اوج را نشان می‌دهد [۲]. امروزه، با پیشرفت علوم رایانه‌ای به‌ویژه اهمیت مدل‌سازی کامپیوتی سیل برای پیش‌بینی این پدیده بهمنظور هشدار پیشروی این مسئله در شرایط طاقتفرسا برای کاهش خسارت مالی و هر ضرر و زیان دیگر افزایش یافته است، اما دقت مدل‌های هیدرولوژیکی در درجه نخست به داده‌های ورودی صحیح مانند بارش بستگی دارد که از نظر توزیع زمانی و مکانی تغییر می‌کنند [۳]. مدل‌های هیدرولوژیکی ساده‌سازی‌های زیادی انجام می‌دهند، بنابراین عملکرد آنها با توجه به محل و نوع روش تغییر می‌کند. این تحقیق در صدد است تا با مقایسه کاربردی سه روش تابع انتقال به شناخت بهتری از عملکرد این توابع در جنوب غربی کشور بپردازد.

با توجه به اهمیت پیش‌بینی و تعیین میزان کمی فرایندهای ایجاد رواناب و انتقال آن به نقطه خروجی حوضه آبخیز، مدل‌های مختلفی توسط محققان و سازمان‌های مطالعاتی-تحقیقاتی در کشورهای جهان ارائه شده است که بهمنظور شبیه‌سازی هدایت رواناب و تخلیه جریان‌های سطحی در اراضی بالادستی به محل خروجی حوضه استفاده می‌شوند. با پیشرفت چشم‌گیر مدل‌های بارش-رواناب، مدل‌هایی که علاوه بر دبی حداقل اوج، رژیم جریان سطحی در هر نقطه از محدوده مطالعه شده را نیز محاسبه می‌کنند، به تدریج جایگزین روش‌های ساده‌ای همچون روش استدلالی شده است [۴]. شبیه‌سازی فرایند بارش-رواناب با استفاده از مدل‌های هیدرولوژیکی امکان استخراج هیدرولوگراف سیلاب را فراهم می‌آورد که به این طریق می‌توان اقداماتی بهمنظور

است که به عنوان حلقه واسط محاسباتی ارتباط بین ورودی‌ها و خروجی‌ها عمل می‌کنند.

مواد و روش‌ها

منطقه مطالعه‌شده

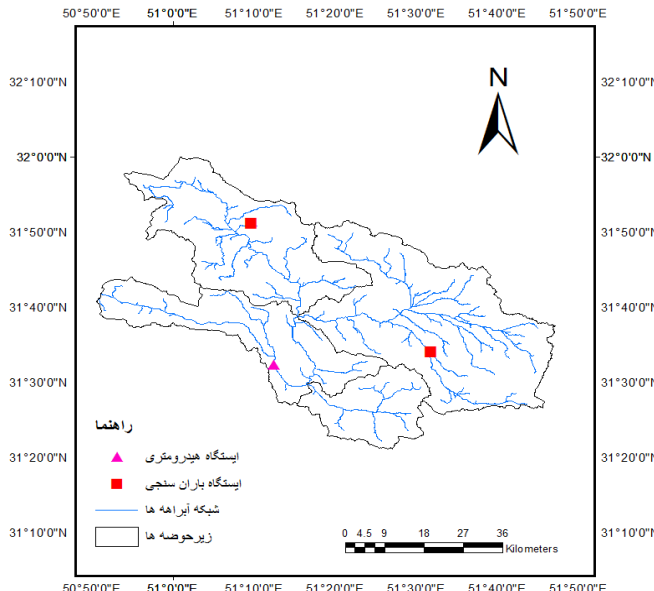
حوضه آبخیز ونک با مساحت حدود ۳۰۷۳ کیلومترمربع در جنوب شرقی حوضه آبخیز کارون شمالی واقع شده است. این منطقه اقلیم نیمه‌خشک سرد دارد. قسمت غربی حوضه بیشتر تحت تأثیر جریان‌های مدیترانه‌ای است، به همین دلیل میزان ریزش‌های جوی در این قسمت بیشتر از قسمت شرقی حوضه است. بیشترین ریزش‌ها در فصل زمستان و بعد از آن فصل‌های پاییز و بهار است و در فصل تابستان بسیار اندک است. حوضه ونک منطقه‌ای نسبتاً کوهستانی و با ارتفاع زیاد محسوب می‌شود و شبیه‌های بسیار متنوع از اراضی مسطح تا شبیه‌های بسیار تندری بیش از ۶۰ درصد دارد [۱۵]. حدود ۳۴ درصد از این منطقه شبیب کمتر از ۱۰ درصد دارد. کمترین و بیشترین ارتفاع حوضه بین ۱۱۴ متر (خرجی حوضه آبخیز) و ۳۸۵۹ متر (در ارتفاعات حوضه) است. تقریباً، بیش از دو سوم حوضه ارتفاعی بیش از دو هزار متر دارد. با توجه به کوهستانی بودن منطقه می‌توان انتظار داشت در زمستان اغلب بارش به صورت جامد باشد. پوشش غالب منطقه نیز مراتع نیمه‌استپی از جنس گون دافنه است.

آمار و اطلاعات استفاده‌شده

برای مشخص کردن محدوده حوضه و زیرحوضه‌های آن با استفاده از سامانه اطلاعات جغرافیایی ILWIS مرز حوضه و شبکه آبراهه‌ای آن ترسیم شد. این حوضه به چهار زیرحوضه تقسیم و مساحت هر زیرحوضه محاسبه شد (جدول ۱، شکل ۱). داده‌های ورودی این تحقیق داده‌های هواشناسی و هیدرومتری شامل سری زمانی دما، بارش، تبخیر و دبی است که در مقیاس روزانه از سازمان آب منطقه‌ای استان‌های چهارمحال و بختیاری و اصفهان تهیه شد. ایستگاه‌های استفاده شده در این تحقیق دو ایستگاه باران‌سنگی و یک ایستگاه هیدرومتری است (جدول ۲). طول دوره آماری استفاده شده ۱۱ سال است که از داده‌های هشت سال برای کالیبراسیون و سه سال برای صحبت‌سنگی استفاده شد. همچنین، با توجه به کوهستانی بودن منطقه و تأثیر ذوب برف، به منظور مدل‌سازی ذوب برف از روش شاخص دما استفاده شد.

در حالی که روش کلارک خروجی‌های منطقی‌تری ارائه می‌کند زیرا که روش کلارک ذخیره‌سازی داخل حوضه را در نظر می‌گیرد. بنابراین، از جریان کلی اوج کاسته می‌شود و به شبیه‌سازی بهتر کمک می‌کند. والگا و همکارانش [۱۱] قابلیت شبیه‌سازی هیدروگراف سیلاب را با استفاده از روش اشنایدر و کلارک بررسی کردند. نتایج این تحقیق نشان داد هر دو روش هیدروگراف سیلاب را به خوبی شبیه‌سازی کردند. برآورد دبی اوج در روش اشنایدر کمی بهتر از روش کلارک بوده است به طوری که در اختلاف بین دبی اوج هیدروگراف مشاهداتی و شبیه‌سازی شده روش اشنایدر دبی اوج ۰/۱۱ درصد بیشتر و روش کلارک ۰/۹ درصد کمتر از دبی اوج مشاهداتی برآورد شد. اعظم و همکارانش [۱۲] در حوضه‌ای واقع در کشور کره با استفاده از مدل HEC-HMS قابلیت شبیه‌سازی هیدروگراف سیلاب‌ها را توسط دو روش هیدروگراف واحد کلارک و اشنایدر مقایسه کردند. نتایج محاسبه آماره‌های کارایی مدل برای این دو روش نشان داد روش کلارک در شبیه‌سازی هیدروگراف سیلاب و برآورد دبی اوج عملکرد بهتری نسبت به روش اشنایدر داشته است. در حوضه رودخانه کارون مطالعه‌ای توسط غفوری و همکارانش [۱۳] با استفاده از مدل HEC-HMS به منظور شبیه‌سازی جریان روزانه رودخانه کارون ۳ صورت گرفته است که در این مطالعه برای محاسبه میزان تلفات، تبدیل بارش به رواناب و جریان پایه به ترتیب از روش‌های احتساب‌کننده رطوبت خاک (SMA)، روش هیدروگراف واحد کلارک و مخزن خطی استفاده شده، ولی مقایسه‌ای بین روش‌های تبدیل بارش به رواناب انجام نشده است. همچنین، تا کنون در زیرحوضه ونک واقع در حوضه کارون، که یک منبع مهم آب برای بخش‌های مرکزی و غربی کشور است [۱۴] به طور مستقل از مدل HEC-HMS و الگوریتم‌های متنوع داخل آن استفاده نشده است. حوضه آبخیز ونک عرصه زهکش سرشاخه‌های رودخانه کارون در حوضه آبخیز بزرگ کارون شمالی محسوب می‌شود [۱۵]. اگرچه سیستم مدل‌سازی هیدرولوژیکی (HMS) در نگاه اول یک بسته نرم‌افزاری یکپارچه به نظر می‌رسد، در واقع این سیستم از مؤلفه‌های متعددی تشکیل شده است که برای هر عملکرد، نظری تابع انتقال چندین روش را پشتیبانی می‌کند. هدف از این مطالعه، مقایسه عملکردی تابع انتقال^۱ یا تابع سیستم سه روش در شرایط محلی حوضه آبخیز ونک

1. Transfer function



شکل ۱. حوضه آبخیز ونک و شبکه آبراهه‌ای آن

جدول ۱. مساحت زیرحوضه‌ها

شماره زیرحوضه	مساحت (Km ²)
۴	۳۳۰
۳	۶۲۰
۲	۱۲۷۸
۱	۸۴۴

جدول ۲. مشخصات کلی ایستگاه‌های هواشناسی داخل حوضه و ایستگاه هیدرومتری خروجی حوضه

نام ایستگاه	مشخصات جغرافیایی ایستگاه‌ها				
	نوع ایستگاه	ارتفاع (متر)	عرض دقیقه	طول درجه	طول دقیقه
گندمان	باران‌سنگی / تبخیرسنگی	۲۲۶۹	۵۱	۳۱	۱۰
مهرگرد	باران‌سنگی / تبخیرسنگی	۲۴۵۰	۳۴	۳۱	۳۲
پل کره‌بیس	هیدرومتری	۱۷۹۰	۳۲	۳۱	۱۲

HEC-HMS، مدل حوضه شامل سه فرایند اساسی تلفات، تبدیل بارش به رواناب و جريان پایه است. هر مؤلفه در مدل کارکرد متفاوتی از فرایند بارش-رواناب در بخشی از حوضه آبخیز و یا حوضه شناخته شده به عنوان یک زیرحوضه را ایفا می‌کند. به طور نمونه، یک مؤلفه ممکن است رواناب سطحی، کanal و یا یک مخزن باشد. هر یک از عناصر یا مؤلفه‌ها، متغیری را تعیین کرده‌اند که ویژگی خاص این مؤلفه و روابط ریاضی مرتبط با فرایندهای فیزیکی خود را توصیف می‌کند. نتیجه فرایند مدل‌سازی محاسبه هیدروگراف جريان در خروجی حوضه آبخیز است [۱۸]. از هیدروگراف‌های تولیدشده توسط اين مدل

odel HEC-HMS

سیستم مدل‌سازی هیدرولوژیکی (HMS) یک سیستم نرم‌افزاری بر پایه سیستم طراحی شده توسط مرکز مهندسی هیدرولوژی ارش ایالات متحده آمریکا است که HEC جایگزین برنامه HEC-1 شد و بهمنظور شبیه‌سازی بارش و رواناب استفاده می‌شود [۱۶]. در این مطالعه برای شبیه‌سازی رواناب حوضه آبخیز ونک از مدل HEC-HMS نسخه ۴/۲ استفاده شد. مدل یادشده دربرگیرنده مدل حوضه، هواشناسی، مشخصات کنترلی و داده‌های ورودی (داده‌های سری زمانی) است و به صورت ترکیبی از مؤلفه‌های قابل انتخاب توسط کاربر کار می‌کند [۱۷]. در

در آنها موجود است، در حالی که هیدروگراف آنها در دسترس نیست. بنابراین، با توجه به اهمیت هیدروگراف واحد در چنین حوضه‌هایی از روش‌های هیدروگراف واحد مصنوعی استفاده می‌شود [۲۳]. نتایج تحقیقات صورت گرفته در مناطق مختلف در زمینه ارزیابی روش‌های هیدروگراف واحد مصنوعی نیز نشان داده است که تفاوت در خصوصیات حوضه‌ها سبب تغییر در تطبیق روش‌های ساخت هیدروگراف واحد می‌شود [۲۴]. در این مطالعه به منظور یافتن بهترین روش تبدیل بارندگی به رواناب، سه روش هیدروگراف واحد کلارک، اشنایدر و SCS در شبیه‌سازی هیدروگراف سیالاب و ویژگی‌های آن مانند دبی اوج و حجم رواناب مقایسه شدند.

الف) روش هیدروگراف واحد ^۵SCS

یک هیدروگراف واحد ناشی از یک واحد بارش مازاد (اینج، سانتی‌متر یا میلی‌متر) به صورت رواناب مستقیم بیان می‌شود و تابع مشخصه‌ای از عوامل فیزیکی مربوط به حوضهٔ آبخیز است [۲۵]. هیدروگراف واحد می‌تواند به صورت مصنوعی و براساس این عوامل فیزیکی حوضه در مواردی که ایستگاه هیدرومتری وجود ندارد، به صورت مصنوعی استخراج شود [۲۶]. پارامتر مورد نیاز روش هیدروگراف واحد SCS زمان تأخیر حوضه است که تقریباً معادل ۰/۶ زمان تمرکز حوضه است [۲۷].

ب) روش هیدروگراف واحد کلارک

هیدروگراف واحد کلارک روش دیگری از هیدروگراف واحد مصنوعی است. به این معنا که به یک هیدروگراف واحد از طریق تجزیه و تحلیل هیدروگراف‌های مشاهداتی گذشته نیاز ندارد [۲۸]. هیدروگراف واحد کلارک در تبدیل بارش مازاد به رواناب دو فرایند کلیدی انتقال و میرایی را در نظر می‌گیرد [۲۹]. به منظور احرای برنامه HEC-HMS در روش هیدروگراف واحد لحظه‌ای کلارک، پارامترهای ورودی زمان تمرکز (Tc) و ضریب نگهداشت (R) مورد نیاز هستند [۳۰].

ج) روش هیدروگراف واحد اشنایدر

مدل هیدروگراف واحد اشنایدر یک مدل تجربی از رابطه رواناب مستقیم با بارش مازاد است که در آمریکا ارائه شده است [۳۱].

می‌توان برای مسائل مختلف مهندسی منابع آب استفاده کرد. همچنین، این مدل به دلیل تنوع در روش کار مؤلفه‌ها می‌تواند برای حوضه‌های مناطق مختلف جغرافیایی استفاده شود [۱۹]. از قابلیت‌های این مدل تجزیه و تحلیل سیالاب‌های شهری، تناوب سیالاب، برنامه‌ریزی سیستم هشدار سیل، ظرفیت آبریز مخازن، تجدید جریان و غیره است [۲۰].

روش محاسبه میزان تلفات

به دلیل کامل تربودن روش محاسبه از بین روش‌های مختلفی که در این مدل برای محاسبه میزان تلفات وجود دارد از مدل احتساب‌کننده رطوبت خاک (SMA) استفاده شد. در جدول ۳ پارامترهای مورد نیاز این روش مشاهده می‌شود. برخی از این پارامترها به صورت مستقیم در حوضه قابل اندازه‌گیری نیستند و بعد از چندین بار کالیبره کردن مدل می‌توان مقادیر این پارامترها را تخمین زد. مدل پیوسته احتساب‌کننده رطوبت خاک موجود در مدل HEC-HMS دارای قابلیت شبیه‌سازی تغییرات میزان رطوبت خاک بین رویدادهای مختلف در زمان‌های متفاوت و رفتار شرایط خشک و تراست و بیشترین اطلاعات را از وضعیت هیدرولوژیکی حوضه در اختیار ما قرار می‌دهد. از دیگر قابلیت‌های مدل احتساب‌کننده رطوبت خاک، شبیه‌سازی حرکت آب و ذخیره آن در گیاهان، سطح و عمق خاک و لایه‌های زیرزمینی است [۲۱]. الگوریتم HMS SMA نشان‌دهنده حوضه با پنج لایهٔ ذخیره‌سازی یعنی تاج پوشش- برگاب^۱، سطح- چالاب^۲، پروفیل خاک^۳، ذخیره‌سازی آب‌های زیرزمینی^۴ (۱ و ۲) است. همان‌طور که در شکل ۲ مشاهده می‌شود شامل ۱۲ پارامتر یعنی ذخیره برگابی، ذخیره چالاب سطحی، سرعت نفوذ نفوذ، ذخیره‌سازی خاک، ذخیره کششی، سرعت نفوذ عمقدی خاک و عمق ذخیره‌سازی آب‌های زیرزمینی ۱ و ۲، ضرایب ذخیره و سرعت‌های نفوذ عمقدی است [۲۲].

روش تبدیل بارش به رواناب ویژگی مشترک حوضه‌های فاقد آمار در این است که مشخصاتی مانند ویژگی‌های فیزیکی حوضه و داده‌های بارش

1. Canopy - interception

2. Surface - depression

3. Soil profile

4. Groundwater storages (1 and 2)

جدول ۳. میانگین پارامترهای واسنجی شده مدل SMA برای همه زیر حوضه ها

مقدار	پارامترهای مدل	مقدار	پارامترهای مدل
۳	نفوذ عمقی (mm/hr)	۷	ذخیره خاک (%)
۲۵۹	ذخیره آب زیرزمینی ۱ (mm)	۸	ذخیره آب زیرزمینی ۱ (%)
۱	نفوذ آب زیرزمینی ۱ (mm/hr)	۱۱	ذخیره آب زیرزمینی ۲ (%)
۳۰۴	رونديابي آب زيرزميني ۱ (hr)	۱۸	بيشترین نفوذ (mm/hr)
۴۱	ذخیره آب زيرزميني ۲ (mm)	۵	نفوذناپذيری (%)
۲	نفوذ آب زيرزميني ۲ (mm/hr)	۳۹۴	ذخیره خاک (mm)
۲۸۸	رونديابي آب زيرزميني ۲ (hr)	۲۳	ذخیره کششی (mm)

جريان پایه

جريان پایه بخشی از جريان كل رودخانه است که از مجموع جريان زيرسطحی و جريان تأخيری سفره کم عمق حاصل می شود. به دليل اينکه جريان پایه توسط مخزن خطی در مدل SMA شبیه سازی می شود به منظور جداسازی جريان پایه از بين روش های مختلفی که در اين قسمت وجود دارد از روش مخزن خطی استفاده شد [۳۳].

مدل هواشناسی در اين مدل شامل داده های بارندگی، تبخیر و تعرق و ذوب برف است که در قسمت داده های سری زمانی وارد می شوند. تاريخ و زمان شروع و پایان و فاصله زمانی بين آن نيز در مؤلفه مشخصه کنترل تعیين می شوند. در اين مطالعه از داده های ايستگاه های باران سنجی و تبخیر سنجی گندمان و مهرگرد و ايستگاه هيدرومتری پل كره بس بر حسب مقیاس زمانی روزانه استفاده شد. بعد از تكميل اطلاعات ورودي، مدل اجرا شد.

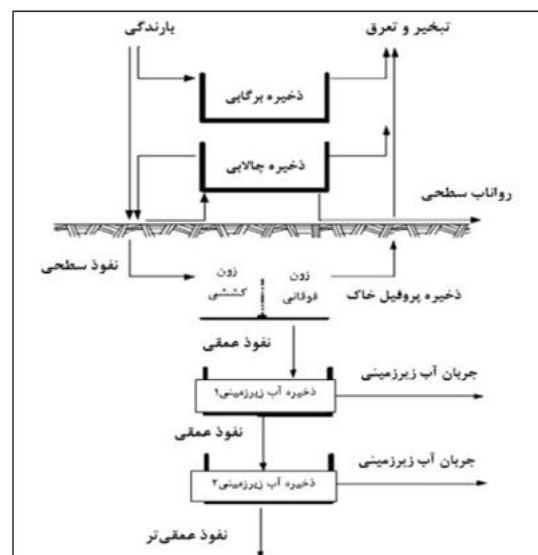
معيارهای ارزیابی مدل

عملکرد مدل با استفاده از دو ضریب کارایی نش- ساتکلیف (ENS) و ضریب تعیین (R^2) ارزیابی شد. ضریب نش- ساتکلیف [۳۴] و ضریب تعیین [۳۵] به صورت زیر محاسبه می شوند:

$$ENS = 1 - \frac{\sum(Q_{obs} - Q_{sim})^2}{\sum(Q_{obs} - \bar{Q}_{obs})^2} \times 100 \quad (4)$$

$$R^2 = \left(\frac{\sum(Q_{obs} - \bar{Q}_{obs})^2 - \sum(Q_{sim} - \bar{Q}_{sim})^2}{\sum(Q_{obs} - \bar{Q}_{obs})^2} \right)^2 \quad (5)$$

در روابط يادشده ENS ضریب کارایی نش- ساتکلیف، ضریب تعیین، Q_{obs} دبی مشاهداتی، Q_{sim} دبی شبیه سازی شده \bar{Q}_{obs} میانگین دبی مشاهداتی اند. ضریب تعیین (R^2) همبستگی داده های شبیه سازی شده با



شکل ۲. الگوریتم مدل پیوسته احتساب کننده رطوبت خاک [۱۹]

معادلات اشنایدر عبارت اند از:

$$T_p = C_t (LL_c)^{1/2} \quad (1)$$

که در آن T_p تأخیر حوضه، L طول آبراهه اصلی، Lc فاصله در امتداد آبراهه اصلی از مرکز حوضه آبخیز تا خروجی آن و C_t ضریب تأخیر هیدروگراف واحد است.

$$Q_p = 64 \cdot C_p \frac{A}{T_p} \quad (2)$$

که Q_p دبی اوج هیدروگراف واحد، A مساحت حوضه و ضریب ذخیره است.

$$T_b = 3 + \frac{T_p}{A} \quad (3)$$

در رابطه يادشده T_b زمان پایه هیدروگراف است [۳۲].

در تاریخ یکم مارس ۲۰۰۹ است، ولی با هر سه روش هیدروگراف واحد با یک ماه تأخیر دبی به مقدار اوج خود می‌رسد. همچنین، در هر سه روش مقدار دبی اوج بالندگی کمتر از مقدار مشاهداتی برآورد شده است. به طوری که مقدار دبی اوج هیدروگراف مشاهداتی برابر $43/2$ مترمکعب بر ثانیه و در روش‌های SCS کلارک و اشنایدر به ترتیب $38/2$ ، $33/2$ و $36/5$ مترمکعب بر ثانیه برآورد شده است. بنابراین، در دوره صحت‌سنجدی عملکرد روش کلارک در برآورد دبی اوج نسبت به سایر روش‌ها مناسب‌تر بوده است (شکل ۴). در مجموع، می‌توان گفت که هیدروگراف سیالاب شبیه‌سازی شده توسط هر سه روش تقریباً نزدیک به هم بوده است، بنابراین شاخص آماری کارایی (جدول ۴) بهتر گویای شبیه‌سازی هستند.

با درنظر گرفتن تابع هدف، پارامترهای مدل به صورت دستی و با استفاده از روش سعی و خطأ واسنجی شد. با توجه به جدول ۴ ضریب نش-ساتکلیف در روش‌های هیدروگراف واحد کلارک، اشنایدر و SCS در دوره واسنجی به ترتیب $0/67$ ، $0/68$ ، $0/69$ و در دوره صحت‌سنجدی به ترتیب $0/66$ ، $0/66$ و $0/66$ به دست آمد. همچنین، ضریب تعیین $0/72$ ، $0/72$ و $0/71$ در دوره واسنجی و $0/71$ در دوره صحت‌سنجدی به ترتیب برای روش‌های کلارک، اشنایدر و SCS نشان می‌دهد همه روش‌ها با دقت نسبتاً خوبی دبی سیالاب را شبیه‌سازی می‌کنند.

مقایسه سه روش هیدروگراف واحد در شبیه‌سازی ویژگی‌های هیدروگراف سیالاب

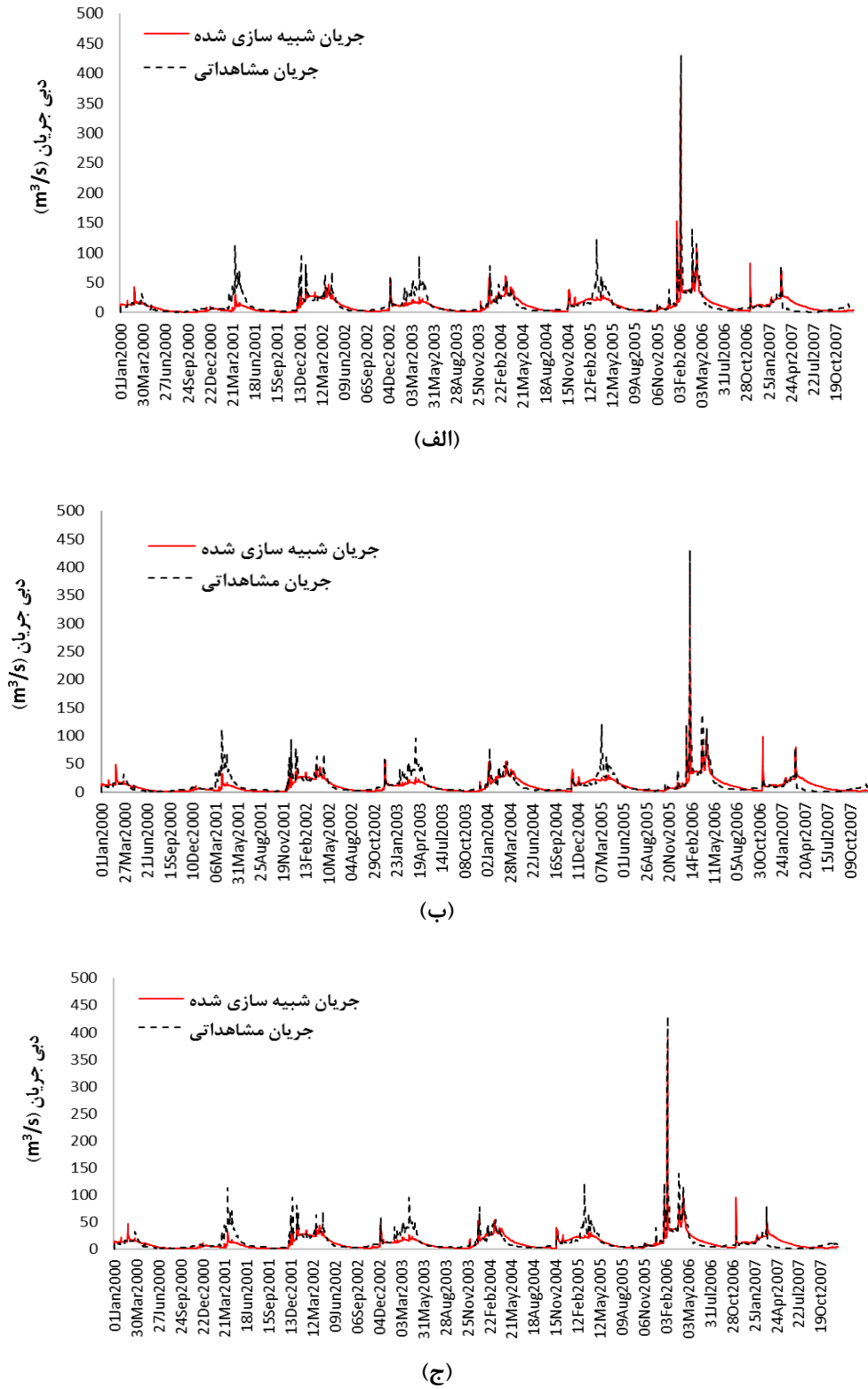
برای شناخت پارامترهای حساس در این مطالعه میزان حساسیت پارامترهای زمان تمرکز، ضریب ذخیره، زمان تأخیر استاندارد، ضریب اوج و زمان تأخیر در روش‌های کلارک، اشنایدر و SCS نسبت به تابع هدف و دبی اوج تخمین زده شد. در محاسبه میزان حساسیت از حد بالا و پایین پارامترهای انتخابی استفاده شد. نتایج نشان داد تغییر این پارامترها بر تابع هدف و دبی اوج تأثیر بسیار کمی دارد و برخی پارامترها تأثیر محسوسی ایجاد نمی‌کنند. طبق جدول ۵، میزان حساسیت پارامترها نسبت به دبی اوج و تابع هدف بسیار کم و بیشترین میزان آن مربوط به تأثیر پارامتر ضریب اوج بر روی دبی اوج در روش اشنایدر برابر با $1/4$ - بود.

داده‌های مشاهداتی را نشان می‌دهد. محدوده R^2 از صفر (غیرقابل قبول) تا یک (بهترین حالت) متغیر است [۳۵]. دامنه تغییرات ضریب نش-ساتکلیف از منفی بی‌نهایت تا یک است. مقدار یک نشان‌دهنده عملکرد مناسب مدل است و مقدار صفر نشان می‌دهد مدل قابلیت تشریح هیچ بخشی از واریانس اولیه را ندارد [۳۶].

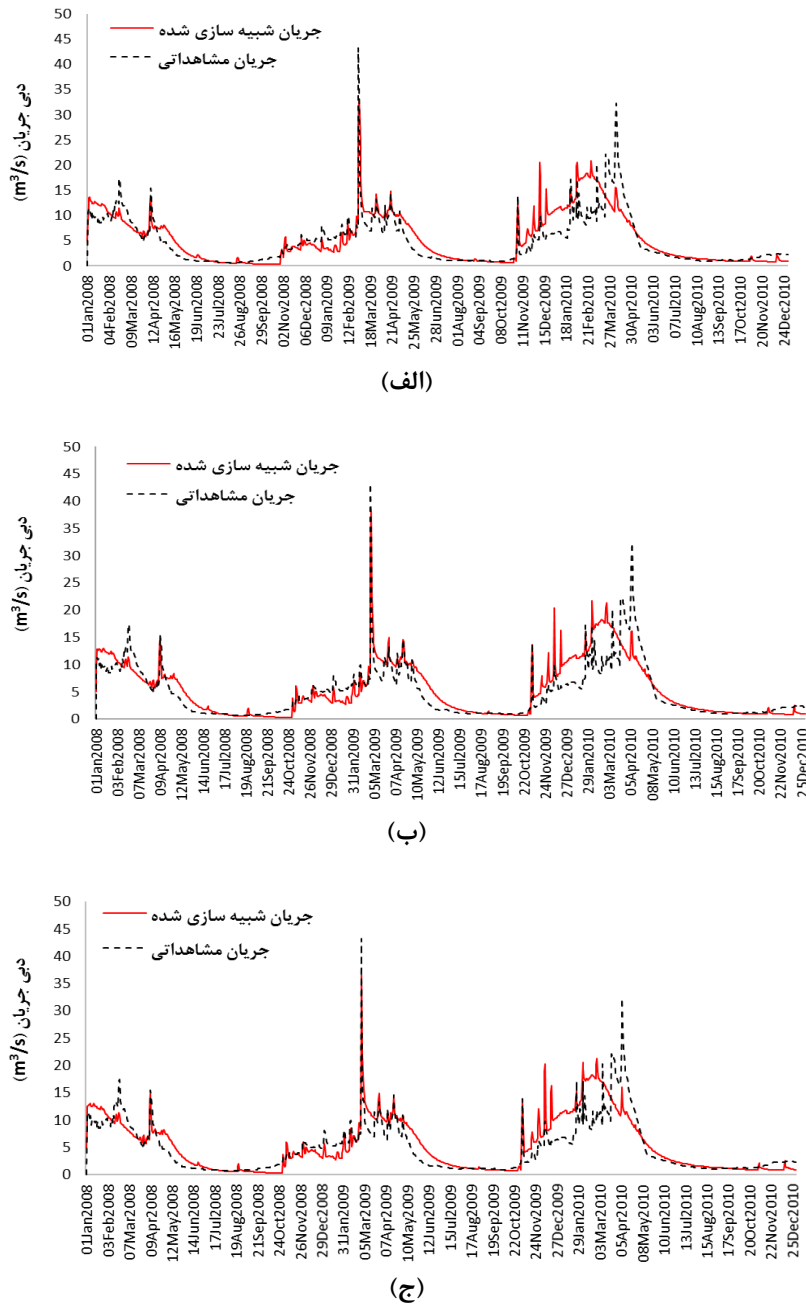
نتایج و بحث

واسنجی و صحت‌سنجدی مدل

در مرحله واسنجی با مقایسه هیدروگراف شبیه‌سازی شده و هیدروگراف مشاهداتی قابلیت شبیه‌سازی هیدروگراف سیالاب مشاهداتی توسط مدل مشخص شد و پارامترهایی از حوضه که به طور مستقیم قابل اندازه‌گیری نیستند، تخمین زده شدند. برای بدست آوردن پارامترهای بهینه از روش سعی و خطأ استفاده شد. در این حالت در صورت مناسب‌بودن نتایج، پارامترها تا جایی تغییر داده می‌شوند و مدل اجرا می‌شود که مقادیر پارامترهای حوضه به مقادیر بهینه خود نزدیک‌تر شوند. در این مطالعه به‌منظور واسنجی و صحت‌سنجدی مدل دوره آماری داده‌ها به دو قسمت تقسیم شد به طوری که هشت سال اول (۲۰۰۷-۲۰۰۷) برای واسنجی و سه سال دوم (۲۰۰۸-۲۰۱۰) برای صحت‌سنجدی استفاده شد. شکل‌های ۳ و ۴ هیدروگراف‌های مشاهداتی و شبیه‌سازی شده توسط مدل HEC-HMS در دوره واسنجی و صحت‌سنجدی برای سه روش هیدروگراف واحد را نشان می‌دهند. مطابق شکل ۳ زمان رسیدن به دبی اوج هیدروگراف مشاهداتی در دوره واسنجی در تاریخ ۱۰ فوریه 2006 گزارش شده است. در هر سه روش زمان رسیدن به دبی اوج شبیه‌سازی تطبیق خوبی دارد. همچنین، با وجود اختلاف در برآورد دبی‌های اوج مربوط به هر رویداد، برآورد دبی اوج کل هیدروگراف در هر سه روش هیدروگراف واحد با اندازی اختلاف کمتر از مقدار مشاهداتی شبیه‌سازی شده است. به طوری که مقدار دبی اوج هیدروگراف مشاهداتی برابر 430 مترمکعب بر ثانیه است و در روش‌های SCS کلارک و اشنایدر با کمی اختلاف به ترتیب $380/9$ ، $380/5$ و $404/8$ مترمکعب بر ثانیه برآورد شده است. با مشاهده چشمی نتایج می‌توان گفت که روش کلارک دبی اوج را نسبت به سایر روش‌ها بهتر برآورد کرده است. شبیه‌سازی جریان در دوره صحت‌سنجدی کمی دچار تأخیر بوده است به طوری که زمان رسیدن به دبی اوج در هیدروگراف مشاهداتی



شکل ۳. هیدروگراف سیلان مشاهداتی و شبیه‌سازی شده در روش‌های هیدرولوژیکی واحد (الف) SCS (ب) کلارک (ج) اشنایدر در دوره ۲۰۰۷-۲۰۰۰



شکل ۴. هیدروگراف سیلان مشاهداتی و شبیه‌سازی شده در روش‌های هیدروگراف واحد (الف) کلارک (ب) سCS (ج) اشنایدر در دوره ۲۰۱۰-۲۰۰۸ صحبت‌سنگی

جدول ۴. معیارهای آماری نکویی برآش برای دوره واسنجی و صحبت‌سنگی

معیارهای آماری نکویی برآش	روش	دوره واسنجی	دوره صحبت‌سنگی
<i>ENS</i>	کلارک	۰/۶۸	۰/۶۷
R^2		۰/۶۹	۰/۷۲
<i>ENS</i>	اشنایدر	۰/۶۸	۰/۶۶
R^2		۰/۶۹	۰/۷۱
<i>ENS</i>	SCS	۰/۶۹	۰/۶۶
R^2		۰/۷	۰/۷۱

جدول ۵. حساسیت پارامترهای انتخابی نسبت به تابع هدف و دبی اوج

روش	پارامتر	زیرحوضه ۱						زیرحوضه ۲	زیرحوضه ۳	زیرحوضه ۴
		تابع هدف	دبی اوج	تابع هدف	دبی اوج	تابع هدف	دبی اوج			
زمان تمرکز	-	-۰/۰۱	-	-۰/۰۱	-	-۰/۰۱	-	-۰/۰۵	-۰/۰۱	-
ضریب ذخیره	-	-۰/۰۸	-	-۰/۰۱	-	-۰/۰۱	-	-۰/۱۶	-۰/۰۸	-
زمان تأخیر استاندارد	-	-۰/۰۱	-	-۰/۰۸	-	-۰/۰۱	-	-۰/۵۶	-۰/۰۱	-۰/۰۲
ضریب اوج	-	-۱/۴	-	-۰/۰۳	-	-۰/۰۲	-	-۰/۰۳	-۰/۰۱	-۰/۱۳
زمان تأخیر	-	-۰/۰۱	-	-۰/۰۲	-	-۰/۰۳۸	-	-۰/۰۱	-۰/۰۱	-
SCS	-	-	-	-	-	-	-	-	-	-

هیدروگراف واحد و در هر دو دوره واسنجی و صحتسنجی کمتر از مقدار مشاهداتی برآورده شده است. با این حال، کمترین میزان درصد اختلاف بین دبی اوج هیدروگراف مشاهداتی و هیدروگراف شبیه‌سازی شده در دوره واسنجی برابر $5/86$ درصد و در دوره صحتسنجی برابر $11/57$ درصد و مربوط به روش هیدروگراف واحد کلارک بود (جدول های ۶ و ۷). این نشان می‌دهد حجم رواناب برآورده در هر سه روش تقریباً نزدیک است، اما دبی اوج هیدروگراف سیلان در روش کلارک نسبت به سایر روش‌ها با خطای کمتری برآورده شده است.

به منظور مقایسه کارایی روش‌های انتقال در این مطالعه ویژگی‌های هیدروگراف سیلان شامل دبی اوج و حجم رواناب در هیدروگراف‌های شبیه‌سازی شده و مشاهداتی مقایسه شد. طبق نتایج به دست آمده حجم رواناب در هر سه روش هیدروگراف واحد در دوره واسنجی کمتر و در دوره صحتسنجی بیشتر از مقدار مشاهداتی برآورده شده است و درصد اختلاف بین حجم رواناب هیدروگراف مشاهداتی و شبیه‌سازی شده در هر سه روش بسیار نزدیک و حدود $15/30$ درصد در دوره واسنجی و $10/45$ درصد در دوره صحتسنجی بود. همچنین، دبی اوج در هر سه روش

جدول ۶. ارزیابی درصد اختلاف بین حجم رواناب (MM) و دبی اوج (m³/s) مشاهداتی و شبیه‌سازی شده در سه روش اشنایدر، کلارک و SCS در دوره واسنجی

روش	رواناب مشاهداتی	دبی اوج مشاهداتی	حجم رواناب مشاهداتی	دبی اوج رواناب مشاهداتی	درصد اختلاف بین دبی اوج مشاهداتی و شبیه‌سازی	درصد اختلاف بین حجم رواناب مشاهداتی و شبیه‌سازی	رواناب مشاهداتی و شبیه‌سازی	دبی اوج مشاهداتی و شبیه‌سازی	روش اشنایدر
اشنایدر	۱۲۴۶/۲۵	۴۳۰	۱۰۵۵/۶۱	۳۸۹/۵	۱۵/۳۰	۹/۴۲			
کلارک	۱۲۴۶/۲۵	۴۳۰	۱۰۵۵/۶۲	۴۰۴/۸	۱۵/۳۰	۵/۸۶			
SCS	۱۲۴۶/۲۵	۴۳۰	۱۰۵۵/۶۳	۳۸۰/۹	۱۵/۳۰	۱۱/۴۲			

جدول ۷. ارزیابی درصد اختلاف بین حجم رواناب (MM) و دبی اوج (m³/s) مشاهداتی و شبیه‌سازی شده در سه روش اشنایدر، کلارک و SCS در دوره صحتسنجی

روش	رواناب مشاهداتی	دبی اوج مشاهداتی	حجم رواناب مشاهداتی	دبی اوج رواناب مشاهداتی	درصد اختلاف بین دبی اوج مشاهداتی و شبیه‌سازی	درصد اختلاف بین حجم رواناب مشاهداتی و شبیه‌سازی	رواناب مشاهداتی و شبیه‌سازی	دبی اوج مشاهداتی و شبیه‌سازی	روش اشنایدر
اشنایدر	۱۶۵/۲۷	۴۳۲	۱۸۲/۵۴	۳۶/۵	-۱۰/۴۵	۱۵/۵۱			
کلارک	۱۶۵/۲۷	۴۳۲	۱۸۲/۵۴	۳۸/۲	-۱۰/۴۵	۱۱/۵۷			
SCS	۱۶۵/۲۷	۴۳۲	۱۸۲/۵۴	۳۳/۲	-۱۰/۴۵	۲۳/۱۵			

هرچند در کل هر سه روش هیدروگراف واحد کلارک، اشنایدر و SCS بهترین با ضرایب نش-ساتکلیف $-0/68$ ، $-0/68$ و $-0/69$ برای دوره واسنجی و $-0/66$ ، $-0/66$ و $-0/67$ برای دوره واسنجی و

نتیجه گیری طبق نتایج به دست آمده در این تحقیق مدل کلارک درباره دبی اوج حوضه آبخیز مطالعه شده، برآورده بهتری داشته است

شماره منحنی شبیه سازی هیدروگراف سیالاب عملکرد نسبتاً خوبی داشته اند و درصد اختلاف حجم رواناب در هیدروگراف سیالاب مشاهداتی و شبیه سازی شده در هر سه روش سیالاب نزدیک به هم بوده، ولی در برآورد دبی اوج هیدروگراف واحد کلارک نسبت به سایر روش ها نسبتاً بهتر بوده است. نتایج این مطالعه در گزارش کارایی بیشتر هیدروگراف واحد کلارک با نتایج کاربرخی محققان همخوانی دارد. از جمله تحقیق آخوندعلی و سید کابلی [۹] در حوضه آبخیز کسیلیان که به برتری روش کلارک نسبت به روش SCS در برآورد دبی اوج منجر شد و علت این امر را این طور بیان کردند که روش کلارک، روش براساس مفاهیم مدل مخزن خطی بوده، ولی روش SCS به سبب متکی بودن به روابط تجربی به واسنجی بسیار وابسته است. بنابراین، خطای چنین روش هایی بیشتر است. همچنین، ماسون [۱۰] در تحقیقات خود به این نتیجه رسید که روش کلارک نسبت به روش SCS خروجی های منطقی تری ارائه می کند و از آنجا که روش کلارک ذخیره سازی داخل حوضه را در نظر می گیرد، از جریان کلی اوج کاسته می شود و به شبیه سازی بهتر رقوم سطح آب کمک می کند. در مطالعه اعظم و همکارانش [۱۲] نیز نتایج محاسبه آمارهای NSE و PEP برای روش های کلارک و اشنایدر نشان داد روش کلارک در شبیه سازی هیدروگراف سیالاب و برآورد دبی اوج عملکرد بهتری نسبت به روش اشنایدر داشته است. در مطالعاتی مانند کریمی و همکارانش [۷] و چیداز و همکارانش [۸] با مقایسه ای که بین سه روش هیدروگراف واحد کلارک، اشنایدر و SCS صورت گرفت روش SCS در شبیه سازی دبی اوج کمترین میزان خطای را داشت و به عنوان روش مناسب انتخاب شد. جدای از اختلاف شرایط محلی ممکن است دلیل این امر انتخاب روش شماره منحنی به عنوان روش تلفات در این مطالعات بوده باشد. به نظر می رسد با انتخاب روش تلفات شماره منحنی SCS همزمان با روش تبدیل بارش به رواناب هیدروگراف واحد SCS ترکیب مناسبی به نظر می آیند. از طرف دیگر، با ترکیب روش تلفات SMA با روش تبدیل هیدروگراف واحد کلارک نتیجه رضایت بخشی حاصل می شود. از آنجا که مفاهیم بنیادی مدل های مفهومی با هم تفاوت دارد، ساده سازی های انجام شده در سیستم سبب اختلاف در نتایج می شود. یک شکل کاربرد مقایسه حاضر در استخراج هیدروگراف برای حوضه های فاقد آمار است که شرایط طبیعی نزدیکی به حوضه مطالعه شده دارند. به نظر می رسد چون روش

منابع

- [1].Teimoori Moghadam AR, Rahnama GhA, Ahmadian M. Calibration of hydrological HEC-HMS model in rainfall-runoff simulation for Mahidasht catchment. The National Conference on Water Crisis Management. Islamic Azad University of Marvdash. 2009. [Persian].
- [2].Chu X, ASCE AM, Steinman A. Event and Continuous Hydrologic Modeling with HEC-HMS. Journal of Irrigation and Drainage Engineering. 2009; (135): 119-124.
- [3].Nastiti KD, Kim Y, Jang K, An H. The application of Rainfall-Runoff-Inundation (RRI) model for inundation case in upper Citarum Watershed, West Java-Indonesia. Procedia Engineering. 2015; (125): 166-172.

- [4]. Neshat A, and Sedghi H. Runoff Estimation in Bagh Malek Watershed (Khozestan) Using SCS Method and HEC-HMS Model. Journal Agricultural Sciences. Islamic Azad University. 2006; 12(4). [Persian].
- [5]. Arekhi S. Runoff modeling by HEC-HMS Model (Case Study: Kan watershed, Iran). International Journal of Agriculture and Crop Science. 2012; 4(23): 1807-1811.
- [6]. Wang M, Zhang L, Baddoo TD. Hydrological Modeling in A Semi-Arid Region Using HEC-HMS. Journal of Water Resource and Hydraulic Engineering. 2016; 5(3): 105-115.
- [7]. Karimi M, Maleki Nezhad H, Abghari H, Azizian MS. Assessment of Different Methods for Flood Hydrograph Simulation using HEC-HMS package (Case study: watershed Chehelgazi). Iranian Water Research Journal. 2011; 5(9): 29-38. [Persian].
- [8]. Chidaz A, Saravi MM, Vafakhah M. Evaluating the HEC-HMS Model for Estimating Flood Hydrograph in Kasilian Basin. Watershed Management Researches (Pajouhesh and Sazandegi). 2009; (84): 59-71. [Persian].
- [9]. Akhond-Ali AM, and Seyyed Kaboli H. Evaluation of SCS and Clark Unit Hydrograph Methods to Simulate Flood Events in Kasilian Basin. Fifth National Conference on Watershed Management Science and Engineering Iran, Karaj, Iran Watershed Association. 2009. [Persian].
- [10]. Mason JI. Analysis of major hydrologic events in Ascension parish, la. Thesis of Department of Civil and Environmental Engineering. 2011.
- [11]. Walega A, Grzebinoga M, Palusziewicz B. On using the Snyder and Clark unit hydrograph for calculations of flood waves in a highland catchment (The Grabinka River Example). ACTA Scientiarum Polonorum. 2011; 10(2): 47-56.
- [12]. Azam M, Kim HS, Maeng SJ. Development of flood alert application in Mushim stream watershed Korea. International Journal of Disaster Risk Reduction. 2017; 21: 11-26.
- [13]. Ghafouri MR, Taheri Shahraiyni H, Saghafian B. Modeling of Continuous Daily Runoff for Karoon River using SMA Loss Function. Iran-Water Resources Research. 2013; 9(2): 73-77. [Persian].
- [14]. Rostamian R, Jaleh A, Afyuni M, Mousavi F, Heidarpour M, Jalalian A, Abbaspour K. Application of a SWAT model for estimating runoff and sediment in two mountainous basins in central Iran. Hydrological Sciences Journal. 2008; 53(5): 977-988.
- [15]. Agriculture and Regional Development Consulting Engineers, A Feasibility ad Management Study on Renewable Resources of Vanak Basin. 2003. [Persian].
- [16]. Gautam NP. Flow routing with Semi-distributed hydrological model HEC- HMS incase of Narayani River Basin. Journal of Institute Of Engineering. 2014; 10(1): 45-58.
- [17]. Khoi DN. Comparison of the HEC-HMS and SWAT hydrological models in simulating the stream flow. Journal of Science and Technology. 2016; 53 (5A): 189-195.
- [18]. Oleyiblo JO, and Li Z. Application of HEC-HMS for flood forecasting in Misaiand Wan'an catchments in China. Water Science and Engineering. 2010; 3(1): 14-22.
- [19]. Reshma T, Venkata Reddy K, Deva P. Simulation of Event Based Runoff Using HEC-HMS model for an Experimental Watershed. International Journal of Hydraulic Engineering. 2013; 2(2): 28-33.
- [20]. Halwatura D, and Najim MMM. Application of the HEC-HMS model for runoff simulation in a tropical catchment. Environmental Modelling and Software. 2013; 46: 155-162.
- [21]. Yousefi Mobarhan E, Farahmand N, Fahim N, Fahim E. Efficiency of Flow Duration Curves Method for Verification of a Hydrological Model (Case Study: Zola-Chay Watershed). Journal of Soil and Water. 2016; 26(2): 101-113. [Persian].
- [22]. Roy D, Begam S, Ghosh S, Jana S. Calibration and validation of HEC-HMS model for a river basin in Eastern India. ARPN Journal of Engineering and Applied Sciences. 2013; 8(1).
- [23]. Mobaraki J, Mohammadi Y, Abghari H. Evaluation the impact The effect of excess rainfall duration on the efficiency of Snyder unit-hydrograph in Emame watershed. Fifth National Conference on Watershed Management Science and Engineering, Karaj, Iranian Watershed Association. 2009. [Persian].
- [24]. Barkhordari J, Telvari A, Ghiasi N, Rastegar H. A study on ability of uses and assessment of synthetic unit hydrograph in flood estimation in Sikhoran watershed, Hormozgan province. Pajouhesh and Sazandegi. 2006; 19(2): 57-65. [Persian].

- [25]. Curtis Weaver J. Methods for Estimating Peak Discharges and Unit Hydrographs for Streams in the City of Charlotte and Mecklenburg County, North Carolina. Water Resources Investigations Report 03-4108. 2003; p55.
- [26]. Majidi A, Moradi M, Vaghfarad H, Purjenaie A. Evaluation of Synthetic Unit Hydrograph (SCS) and Rational Methods in Peak Flow Estimation (Case Study: Khoshehaye Zarrin Watershed, Iran). International Journal of Hydraulic Engineering. 2012; 1(5): 43-47.
- [27]. Choudhari K, Panigrahi B, Chandra P. Simulation of rainfall-runoff process using HEC-HMS model for Balijore Nala watershed, Odisha, India. International Journal of Geomatics and Geosciences. 2014; 5(2).
- [28]. US Army Corps of Engineers. Hydrologic modeling system HEC-HMS: User's Manuals version 4.2. Hydrologic Engineering Center. 2016.
- [29]. Cunderlik J, and Simonovic SP. Calibration, Verification and Sensitivity Analysis of the HEC-HMS hydrologic model CFCAS Project: Assessment of Water Resources Risk and Vulnerability to Changing Climatic Condition: Water Resources Research Report. Assessment of Water Resources Risk and Vulnerability to Changing Climatic Conditions. Project Report IV. 2004.
- [30]. Walega A. Application of HEC-HMS programme for thereconstruction of a flood event in an uncontrolledbasin. Journal of Water and Land Development. 2013; 18(I-VI): 13-20.
- [31]. Yao C, Chang L, Ding J, Li Z, An D. Evaluation of the effects of underlying surface change oncatchment hydrological response using the HEC-HMS model. Evolving Water Resources Systems: Understanding, Predicting and Managing Water Society Interactions Proceedings of ICWRS. 2014; IAHS Publ. 364.
- [32]. Khaleghi MR, Gholami V, Ghodusi J, Hosseini H. Efficiency of the geomorphologic instantaneous unit hydrograph method in flood hydrograph simulation. Catena. 2011; 87: 163–171.
- [33]. Yousef Mobarhan E, Abghari M, Erfanian M. Investigation and Calibration of Hydrological Parameters of HMS-SMA at Different Time Scales for rainfall-runoff Modeling. Watershed Management Research (Pajouhesh and Sazandegi). 2013; (10): 79-87. [Persian].
- [34]. Nash JE, Sutcliffe JV. River flow forecasting through conceptual models 1: a discussion of principles, Journal of Hydrology, 1979; 10: 282-290.
- [35]. Sintayehu LG. Application of the HEC-HMS Model for Runoff Simulation of Upper Blue Nile River Basin. Hydrology: Current Research. 2015; 6(2).
- [36]. Mathev T, Michel C, Andreassian V, Perrin C. A bounded version of the Nash-Sutcliffe criterion for better model assessment on large sets of basins. Large Sample Basin Experiments for Hydrological Model Parameterization: Results of the Model Parameter Experiment-MOPEX. 2006; IAHS Publ. 307.